

РЕОЛОГИЧЕСКОЕ ПОВЕДЕНИЕ ГЛИНЫ ПРИ УРОВНЕ КАСАТЕЛЬНЫХ НАПРЯЖЕНИЙ, БЛИЗКОМ К РАЗРУШАЮЩЕМУ¹

Член-корр. АН АрмССР, проф., докт. техн. наук Г. И. ТЕР-СТЕПАНИЯН²

Реферат. Ползучесть глины при сдвиге состоит из фаз мобилизации, разрушения и стабилизации, характеризующихся уменьшением и увеличением скорости деформации сдвига; эти процессы протекают пропорционально времени. Увеличение скорости деформации сдвига в фазе разрушения не означает, что процесс должен закончиться разрушением. Разрушение имеет место только при высоком уровне напряжения (изученных грунтах при $f = \tau/c = 0,55$) и сравнительно малом возрасте напряжения (100—200 дней). Длительное испытание (около шести лет) показало, что при несколько меньшем уровне напряжения ($f = 0,50$) грунт не разрушается даже более чем через 2000 дней и ползучесть протекает с уменьшающейся скоростью ($\dot{\gamma} \approx 10^{-11}$ сек⁻¹). Этот факт позволяет существенно увеличивать расчетные касательные напряжения грунтов без опасения, что ползучесть по истечении очень большого времени закончится разрушением.

Практическая необходимость оценки длительного сопротивления глины сдвигу при уровне касательных напряжений, близком к разрушению, не требует доказательств. Однако теоретические представления и экспериментальные данные, относящиеся к реологическому поведению глин при очень большой длительности воздействия напряжений, еще крайне недостаточны.

Традиционное понимание длительного сопротивления основано на интерпретации экспериментальных кривых ползучести (кривые время—деформация сдвига). Разрушение понимается как точка на кривой ползучести, в которой скорость деформации сдвига начинает увеличиваться, т. е. ускорение деформации сдвига делается положительным (см., например, Schmid, 1962). Теоретическое изучение и эксперименты показали картину, существенно отличающуюся от изложений (Тер-Степанян, 1976). Новая структурная теория описывает процесс ползучести при сдвиге следующим образом.

Структура грунта характеризуется типом и расположением частиц, и следовательно, определенной системой точек контакта и сил, действующих между ними. Таким образом, каждая структура грунта имеет ограниченную возможность деформирования (выносливость), и следовательно, ограниченную величину сопротивления. Когда накопленные касательные напряжения превосходят это значение, структура грунта теряет способность к сопротивлению напряжениям и происходит скачкообразная реорганизация структуры (Тер-Степанян, 1948). Механические свойства вновь созданной структуры определяются случайными причинами, поэтому скачкообразная перестройка структуры должна рассматриваться как стохастический процесс.

¹ Переработанный доклад, представленный IX Международному конгрессу по механике грунтов и фундаментостроению в Токио, июль 1977 (G. Ter-Stepanian, 1977).

² Зав Лабораторией геомеханики ИГИС АН АрмССР.

В противоположность этому деформация каждой структуры про текает плавно, подчиняясь реологическим уравнениям, выведенным из теории кинетических процессов (Eyring, 1936); поэтому она представляет собой детерминированный процесс.

Основываясь на теории Эйринга, дополненной Митчеллом (Mitchell et al., 1968), автор вывел реологические уравнения, учитывающие ряд дополнительных факторов, как-то: уровень касательных напряжений τ , деформируемость структуры грунта, статическую вязкость ζ , возраст напряжений t и среднюю длительность оседлой жизни связей. В зависимости от направления изменения структуры грунта длительность оседлой жизни связей увеличивается или уменьшается; соответственно выделяются различные фазы ползучести. При промежуточном уровне касательных напряжения между пределами ползучести τ_p и разрушения $\tau_q (\tau_p < \tau < \tau_q)$ имеют место три фазы ползучести: мобилизации, разрушения и стабилизации. При высоком уровне касательных напряжений ($\tau > \tau_q$) наблюдаются две фазы ползучести: мобилизации и разрушения.

В фазах мобилизации и стабилизации количество дефектов строения грунта уменьшается, структура грунта делается более упорядоченной и происходит ориентация частиц; поэтому длительность оседлой жизни связей увеличивается. Принимая, что это увеличение происходит прямо пропорционально времени, получаем скорость деформации сдвига в фазах мобилизации и стабилизации

$$\dot{\gamma} = a (\tau - \tau_p) / \zeta t, \quad (1)$$

где a — структурный коэффициент, зависящий от деформируемости структуры грунта и средней касательной силы, действующей в каждом текущем элементе в точках контакта.

В фазе разрушения все эти процессы развиваются в противоположном направлении и длительность оседлой жизни связей уменьшается; принимая, что это уменьшение происходит также пропорционально времени, получаем для фазы разрушения

$$\dot{\gamma} = a (\tau - \tau_p) t / \zeta t_m^2, \quad (2)$$

где t_m время мобилизации. Описанные изменения дефектов структуры были показаны С. С. Вяловым и др. (1972).

Интегрируя уравнения (1) и (2), получаем величину деформации ползучести для каждой структуры. В фазах мобилизации и стабилизации она равна

$$\gamma = a \frac{\tau - \tau_p}{\zeta} \ln \frac{t + \Delta t}{\Delta t} + C, \quad (3)$$

где Δt — малый промежуток времени, равный единице, например, одна секунда. В фазе разрушения величина деформации ползучести каждой структуры равна

$$\gamma = a \frac{\tau - \tau_p}{2 \zeta t_m^2} t^2 + C. \quad (4)$$

Учитывая, что в выражение полной деформации ползучести грунта к какому-либо моменту времени t необходимо включить также сумму деформации, которую претерпели все предшествующие структуры, найдем величину полной деформации ползучести в фазе мобилизации

$$\gamma = \gamma_0 + \frac{\gamma - \gamma_p}{\zeta} \sum_{i=1}^{n_1} a_i \ln \frac{t + \Delta t}{t_{i-1} + \Delta t}, \quad (5)$$

где γ_0 — мгновенная деформация, $t_0 = 0$ и n_1 — число образовавшихся структур в фазе мобилизации.

Для фазы разрушения получим

$$\gamma = \gamma_m + \frac{\gamma - \gamma_p}{2 \cdot t_m^2} \sum_{i=1}^{n_2} a_i (t_i^2 - t_{i-1}^2), \quad (6)$$

где γ_m — деформация при пределе мобилизации, $t_{j-1} = t_m$ и n_2 — число создавшихся структур в фазах мобилизации и разрушения.

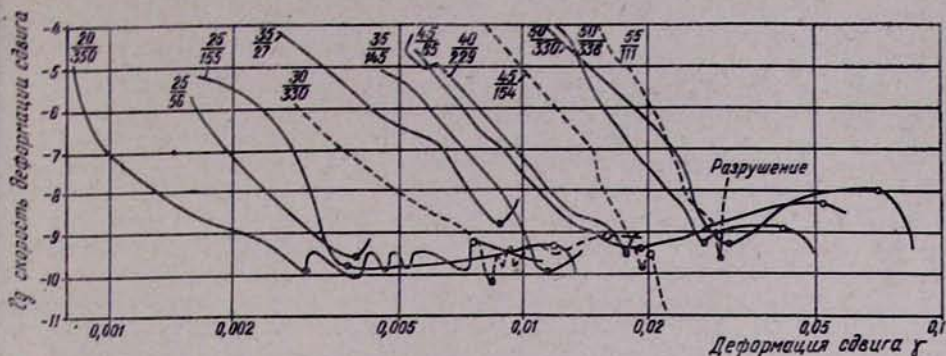
Кривые ползучести для последовательных структур грунта состоят из кусков логарифмических кривых в фазах мобилизации и стабилизации, и парабол в фазе разрушения: при скачкообразной перестройке структуры процесс переходит от одной возможной кривой к следующей, ее пересекающей.

Эти теоретические принципы были подтверждены на 20 опытах на ползучесть, проведенных на двух образцах ненарушенной высокопластичной чувствительной переконсолидированной диатомитовой глины из Сисиана (Армения), взятых с глубины 40 и 76 м. Некоторые опыты длились свыше пяти лет; часть опытов продолжается. Уровень напряжений выражается через $f = \gamma/\sigma$. Обсуждение результатов опытов относится только к изученным грунтам.

Эксперименты позволили обнаружить важное явление, непосредственно связанное с рассматриваемым вопросом. Предел мобилизации имеет место в возрасте напряжений 10—15 дней, затем скорость деформации сдвига увеличивается (уравнение 2); это справедливо для всех опытов при касательных напряжениях, превышающих предел ползучести ($f = 0,15$). Согласно традиционному определению, во всех этих случаях опыты должны рано или поздно закончиться разрушением, поскольку скорость деформации сдвига увеличивается. Отсюда следует, что длительная прочность очень мала (равна пределу ползучести). Это заключение несовместимо с фактом существования высоких природных склонов в глинах, в которых касательные напряжения вдоль потенциальной поверхности скольжения значительно превышают предел ползучести.

Длительные опыты показали, что в большинстве случаев это увеличение скорости ползучести продолжается только до некоторого *предела стабилизации*; после этого скорость деформации сдвига непрерывно уменьшается. Уменьшение скорости деформации сдвига после некоторого увеличения было впервые показано Бишопом и Ловенбарри (Bishop, Lovenbury, 1969). Непрерывное увеличение скорости деформации сдвига, ведущее к разрушению, было обнаружено только при высоком уровне напряжений ($f = 0,55$); разрушение наступает через 100—200 дней. При несколько меньшем уровне напряжений (например, при $f = 0,50$), разрушение не наступает даже спустя 2000 дней (около шести лет) и ползучесть продолжается с уменьшающейся скоростью ($\dot{\gamma} \approx 10^{-11} \text{ с}^{-1}$).

На рисунке показаны присущие кривые (кривые деформации сдвига — скорости деформации сдвига в логарифмическом масштабе). Поворотная точка присущих кривых соответствует наибольшей скорости деформации сдвига $\dot{\gamma}_s$ в фазе разрушения; она называется *пределом стабилизации S*. После этого скорость деформации сдвига не-



Присущие кривые для опытов при нормальном напряжении $\sigma=100$ кПа. Цифры вверху показывают касательное напряжение в кПа, а внизу—длительность опыта в днях. Чёрные кружки означают предел мобилизации, а светлые кружки—предел стабилизации. Только один опыт при $\tau=55$ кПа (длительность 111 дней) закончился разрушением; в остальных опытах процесс постепенно стабилизировался, если опыт продолжался более, чем примерно 200 дней.

$\sigma=100$ կՊա լուրման դեպքում փողերի լուրբանակ կարգեցրեց: Վերևի թվերը ցույց են տալիս շահագույն լարմամբ կՊա-ով, իսկ ներքեւին՝ փորձի տևողությունը օրերով: Առ շրջանակները նշանակում են մորիլիվացման սահմանը, իսկ բաց շրջանակները՝ ստարիլիվացման սահմանը: Միայն մեկ փորձը $\tau=55$ կՊա (տևողություն 111 օր) ավարտվեց քայլայում: Ընդհանական ավելացումը դնելով դեպքում, ընթացքն աստիճանաբար կայունացվեց: Intrinsic curves for all tests at normal stress $\sigma=100$ kPa. For each curve figures above denote shear stress in kPa and below, duration of the test in days. Black circles denote the mobilization limit and white circles—the stabilization limit. Only one test at $\tau=55$ kPa (duration 111 days) has ended in failure; in the rest of tests the process was gradually stabilized, if the test lasted more than about 200 days.

прерывно уменьшается. Отсюда следует, что увеличение скорости деформации сдвига после ее уменьшения не означает, что процесс должен безусловно закончиться разрушением.

Выводы. В обширной области, заключенной между пределами ползучести ($f=0,15$) и разрушения ($f=0,50$), процесс ползучести стабилизируется, хотя и происходит временное увеличение скорости деформации сдвига. Это позволяет значительно увеличивать расчетное сопротивление сдвигу без опасения, что грунт может разрушиться через очень большое время.

ԿԱՎԻ ՌԵՍՈԼՈԳԻԿԱՆ ՎԱՐՔԸ, ԵՐՐ ՇՈՇԱՓՈՂ ԼԱՐՈՒՄՆԵՐԻ ՄԱԿԱՐԴԱԿԸ ՄՈՏ Է ՔԱՅՔԱՅՄԱՆԸ¹

ՀԱՅՀ ԳԱ բորակից անդամ, պրոֆեսոր, տեխն. գիտ. դոկտոր ԳԵՈՐԳ ՑԵՐ-ՍՏԵՓԱՆՅԱՆ²

Ո՞նք երատ. Մահմանակ կավի սողը բազկացած է մորիլիվացման, քայլայման և ստարիլիվացման փուլերից, որոնք ընութեագրվում են ընթացքը ժամանակին զուգահեռ գեֆորմացիայի արագության նվազմամբ և աճմամբ. քայլայման փուլում զեֆորմացիայի արագության աճը չի նշանակում, որ ընթացքը պնտք է ավարտվի քայլայումով: Քայլայումը տեղի է ունենում միայն լարումների բարձր մակարդակի (ուսումնասիրված գրունտների համար, եթե $f=\tau/\sigma=0,55$) և լարումների համեմատարար փոքր հասակի դեպքում ($100-200$ օր): Երկարատև փորձարկումը (մոտ վեց տարի) ցույց է տվել, որ լարումների մի փոքր

¹ Տոկուստ 1977 թ. կայացած գրումների մեջանիկայի և հիմքաշինության իններրորդ համաշխարհային կոնքուսին ներկայացված վերանայված զեկուցում: Զեկուցումը հրատարակվել է կոնքուսի աշխատանքներում (G. Ter-Stepanian, 1977):

² ՀԱՅՀ ԳԱ ԳԻՒՐ գեոմեխանիկայի լարումատորիայի վարիչ:

Նվազ մակարդակի ղեպըում ($f=0.50$) գրունտը չի բայց բարձրացն նույնինսկ 2000 օր հետո, և սուլքը շարունակվում է նվազող արտաքոքքյամբ ($\gamma \approx 10-11\text{կմ}^{-1}$). Այդ փաստը թույլ է տալիս դրա մեջ մեծացնել զբունքների հաշվարկային շոշափող լարումներն առանց երկխոտելու, որ սուլքը մեծ ժամանակամիջոցից հետո կավարտվի բայց բարձրացն առաջաւում:

Կամի սահըի երկարաւան դիմադրության վահաճատման գործնական անհրաժեշտությունը, երբ շոշափող լարումների մակարդակը մոտ է քայլայմանը, ապացույցներ չի պահանջում: Սակայն լարման երկարաւան ազդեցության գեազում կամի սեղուգիական վարքին վերաբերվող տեսական պատկերացումները և փորձական տվյալները գեսև շափականց անրավարար են:

Քրանտիկ սովորություն ընդունված է ամանդիքների տեսակով և զասավորությամբ, ուստի և հպատակների որոշակի սիստեմով ու նրանց միջև զործող ուժերով։ Քրոնտի յուրաքանչյուր ստրոկտորան ունի ձևափոխության սահմանափակ հնարավորություն (գիմացկունություն) և հնտեաբար զիմապրության սահմանափակ մեծություն։ Եթե կոտակված լարումները գերազանցում են այդ արժեքը, գրունտի ստրոկտորան անընդունակ է զառնում զիմապրելու դրանց, և տեղի է ունենում ստրոկտորայի թոհքածն վերադասավորում (Տեր-Շեռնյան, 1948)։ Նոր առաջացած ստրոկտորայի հատկությունները որոշվում են պատահականորեն, հնտեաբար ստրոկտորայի թոհքածն վերադասավորումը պետք է դիտել որպես ստոխաստիկ (պատահական) ընթացք։

Ի հակաղություն սրա, կինեափի ընթացքների տեսության հիման վրա (Eyring, 1936) դուրս բերված ռեզոլյֆիական հավասարություններին ենթարկվող ստրուկտուրալի յուրաքանչյուր ձևափոխություն ընթանում է սահուն, հետեւքար, այդ դեպքերին ացված (պատճառական) ընթացք է:

Հիմնվելով Միթչելի կողմից լրացված (Mitchell et al., 1968) էյրինզի տեսության վրա, Հայկակա հաշվի առնելով մի շարք լրացւցիչ դորձնենք՝ ինչպես օրինակ, շոշափող ու լարման մակարդակը, զրունակ ստրուկտուրայի ձևափոխությունը, ստատիկական և մածուցիկությունը, լարման և հասակը, կապերի նստակյաց կյանքի միջին տևողությունը, դուրս է բրեկ ունեղողիքական հավասարությունը: Գրանադի ստրուկտուրայի փոփոխության ուղղությունից կախված կապերի նստակյաց կյանքի տևողությունը մնանաւում կամ փոքրանաւում է: Համապատասխանութեան առանձնանում են սոզի տարրեր փուլեր Միջանկյալ շոշափող լարմաների մակարդակի գեղքում, սոզի ը և քայլքայման τ_q սահմանների մեջ ($\sigma_p < \tau < \tau_q$) տեղի ունեն սոզի երեր փուլ՝ մորիլիքացման, քայլքայման և ստարիլիքացման: Շոշափող բարձր լարմաների մակարդակի գեղքում ($\tau > \tau_q$) դիտվում են սոզի երեր փուլեր՝ մորիլիքացման և քայլքայման:

Սորբիկացման և ստարիկացման փուլերում զրունակի կազմովիշյան արատների թիվը փոր-
քանում է, ստրուկտուրան դասում է ավելի կարգավորված և կատարվում է մասնիկների կողմնո-
րոշում, հետևաբար կապերի նստակյաց լյաների տևողությունն աճում է: Ընդունելով, որ այդ աճը
տևիդի է ունենալում ժամանակին համեմատական, ստանում ենք սահմանափակության արագության
Դ (1) բանաձեռք՝ որտեղ պ-ն ստրուկտուրայի գործակիցն է՝ կախված զրունակի ստրուկտու-
րայի ձևափոխակությունից և հազար կետում յուրաքանչյուր հոսում տարրի վրա ազդող միջին
շոշափող ուժի մեծությունից, և որ — շոշափող լարումն է, որի դեպքում սազ տեղի չի ունե-
նում (սոդոր շամք):

Քայլքայման փուլում այս բոլորը զարդանաւմ են հակադիր ուղղությամբ, և կապերի նըստակայց կունաքի տևողությունը նվազում է: Ընդունելով, որ այդ նվազումը կատարվում է ժամանակին համեմատական, սուսանում ենք (2) բանաձև, որպես եռուց մորիկի հացման ժամանակակից գույքը:

³ Բանաձևերը և նկարը տե՛ս էջ 145—147։

նակն է: Սարուկառայի արատների նկարագրված փոփոխությունները ցույց է տրվել *U. U.* Վալյալյան (Վալյալյան, 1972):

Խավասարումները, կտանակի սողքի ձևափոխության մեծությանը լուրաբանվում ստուգութայի համար Մորթիլղացման փոլում այն կարտահայտվի (3) բանաձեռնությունում պատճենահանության մեջ միավորին հավասար փորք ժամանակահատվածն է, օրինակ՝ մեկ վայրկանին թալրաման փուլում սահմանափակությունը արժեքը լուրաբանվուր ստորոշութայի համար արտահայտվում է (4) բանաձեռնությունում:

Հայով առնելով, որ ժամանակի տվյալ պահին զրոնտի դեֆորմացիայի լրիվ արտահայտության մեջ պիտօք է մացնել նաև բոլոր նախկին ստրուկտորաների դեֆորմացիաների գումարը, լրիվ դեֆորմացիայի մեծությունը մորիլիզացման փուլում կորոշվի շատ (5) բանաձևեր, որոնք՝ յօ՞ն ակնթարթային դեֆորմացիան է, $t_0=0$ և $n_1-\sigma$ մորիլիզացման փուլում առաջացած ստրուկտորաների թիվն է: Համապատասխանութեան բայքայման փուլում լրիվ դեֆորմացիան կարտահայտվի (6) բանաձևով, որտեղ $\gamma_{\sigma}-\sigma$ դեֆորմացիան է մորիլիզացման սահմանում, $t_{j-1}=t_m$ և $n_2-\sigma$ մորիլիզացման և բայքայման փուլերում ստրուկտորաները թիմը: Է:

Գրունտի հաջորդական ստրուկտուրաների համար մորիլիզացման և ստարիլիզացման փուլքում սովոր կորագծերը կազմված են լուգարիթմական կորագծերի հատվածներից՝ իսկ բայթաշաման փուլում պարագուների համալաներից։ Ստրուկտուրայի թուրքածեկ վերաբառուցման դեպքում պնդառողմին հասանակ կոռագծեր անհնամ է մասն նորան հապալ կոռագծեն։

Այս տեսական սկզբունքները հաստատված են սովոր 20 փորձերով, որոնք կատարված են Սիսիսինի (Հայաստան) շխախտված, բարձր պլաստիկ, զգալի զերկուսալիքացված դիմացությամբ կավի երկու և ուղարկերի հետ՝ փերցված 40 և 76 մ խորություններում: Որոշ փորձերը տևեցին շնչի տարրուց ավելի: Փորձերի մի մասը շարունակվում է: Ստորև շոշափել լարման մակարդակն արտահայտվում է $f = \tau/\sigma$ միջոցով: Փորձերի արդյունքների քննարկումը վերաբերվում է միայն ուսումնասիրված գրունտաներին:

Փորձերը թույլ ավելցին հայտնարերի քննարկվող հարցի հետ առմիջականորեն կապված կարենու կրկույթի Մորթիլացման սահմանը տեղի ունի 10—15 օրվա լարման հասակում, այնուհետև սահմանը ձևափոխության արագությունն աճում է բայց բանաձևի (2). սա նշան է այն դրույր փորձերի համար, եթե շոշափող լարումը գերազանցում է սողքի սահմանը ($f=0.15$). Համաձայն ավանդական բնորոշման, այս դրույր գետպիրում փորձերը ուշ թե շուտ պետք է ավարտվեին քայլացումով, քանի որ սահմանը ձևափոխության արագությունն աճում է: Այստեղից հետեւմ է, որ երկարատև ամրությունը շատ փոքր է (հավասար է սողքի սահմանին), Այս կերպացությունն անհամատելի է կազմակերպի համար ինաչերի գոյության փաստի հետ, որոնցում սահմանական պոտենցիալային մակերեսությի երկայնքով շոշափող լարումները նկատելի են առանձնահատում:

ոսղը շարունակվում է նվազող արագությամբ ($\gamma \approx 10^{-11} \text{ s}^{-1}$):
Նկարի վրա ցույց են տրված յորահատուկ կորագծեր (սահմանափակություն—սահմանափակության արագության կորագիծ լոգարիթմական մասշտարով): Ցուրահատուկ կորագծերը ըշշադարձի կետը համապատասխանում է քայլարման փուլում՝ ուսահման առավելագույն արագությանը. այն կոչվում է S ստարիլիզացման ամիսան: Սրանից հետո սահմանափակությանը արագությունն անընդհատ նվազում է: Այստեղից հետևում է, որ սահմանափակության աճը նրա նվազումից հետո լի նշանակում, որ ընթացքը անպայման պետք է անդադար պատճենագործվի:

Խել հաղթարկային սահմա դիմագրությունն առանց վախենալու, որ գործություն կը արարի շատ
մեծ ժամանակից հետո:

RHEOLOGICAL BEHAVIOUR OF CLAYS AT SHEAR LEVEL CLOSE TO FAILURE¹

GEORGE TER-STEPANIAN, Prof., Dr.Sc.(Eng.), Corr. Mem. Armen.Ac. Sc.²

Synopsis. The creep of a clay during shear consists of the mobilization, rupture and stabilization phases characterizing by decrease and increase of the strain rate; these processes proceed proportionally with time. The increase of the strain rate in the rupture phase does not mean that the creep will end in failure. The failure takes place only at high stress level (in studied soils at $f=\tau/\sigma=0.55$) and comparatively short stress age (100–200 days). The prolonged testing (over six years) shows that at slightly lower stress level ($f=0.50$) the soil does not fail even more than 2000 days later and the creep proceeds with a decreasing rate ($\gamma \approx 10^{-11} \text{ sec}^{-1}$). This fact enables to increase considerably the design shear stresses of soils without fearing that the creep will end in failure.

The practical necessity of estimating the long-term shear strength of soils at the stress level close to the failure is doubtless. However the theoretical concepts and experimental data relating to the rheological behaviour of clays at a very long duration of the stress action are still extremely insufficient.

The traditional understanding of the long-term shear strength of soils is based on the known interpretation of the family of experimental creep curves (shear strain vs. time). Failure is defined as that point on the creep curve at which the strain rate begins to increase, i.e. where the strain acceleration becomes positive (e.g. Schmid 1962).

Theoretical study and experiments have shown a picture which considerably differs from the above-mentioned (Ter-Stepanian, 1975). The new structural theory of creep describes the process of the creep during shear as follows.

The soil structure is characterized by the type and the arrangement of particles and therefore by a certain system of the contact points and forces acting between them. Thus each soil structure has a limited possibility for deformation (endurance) and hence a limited strength. When the accumulated shear stress exceeds this value the soil structure becomes unable to sustain the stress and a jump-like reorganization of the soil structure takes place (Ter-Stepanian, 1936). The mechanical properties of newly built structures are determined by accidental causes; therefore the jump-like reorganization of soil structure should be defined as a stochastic process.

Contrary to this the deformation of each soil structure proceeds smoothly obeying to the rheological equations deduced from the theory of rate processes (Eyring, 1936); therefore it is a deterministic process.

Based on the Eyring's theory, supplemented by Mitchell et al. (1968), the Author has deduced rheological equations taking into account several additional factors, such as the shear stress level τ , the soil structure deformability, the statical viscosity ζ , the stress age t and the average lifetime of bonds. Depending on change of the lifetime of bonds the different phases of creep are distinguished. At high shear stress level, between the creep τ_p and rupture τ_q limits ($\tau_p < \tau < \tau_q$) three phases of creep (mobilization, rupture and stabilization) are distinguished. At high shear stress level ($\tau > \tau_q$) two phases of creep (mobilization and rupture are observed).

¹ Revised paper, presented to the Ninth International Conference on Soil Mechanics and Foundation Engineering, held in 1977 in Tokyo. The paper was published in the Proceedings of the Conference (G. Ter-Stepanian, 1977).

² Head, Laboratory of Geomechanics, IGES, Armenian Academy of Sciences,

In the mobilization and stabilization phases the quantity of defects of soil fabric decreases, the soil structure becomes more regular and the orientation of soil particles occurs; therefore the lifetime of bonds increases. Assuming that the strain rate $\dot{\gamma}$ decreases directly with time, we have (Eq. 1)³, where a is the structural coefficient and τ_p is the shear stress by which no creep occurs (creep limit).

In the rupture phase all these processes develop in the opposite direction, the lifetime of bonds decreases and the strain rate increases directly with time (Eq. 2), where t_m is the mobilization time. The described changes of structural defects during creep were shown convincingly by Vyalov et al. (1972).

Integrating Eqs. (1) and (2) we receive the magnitude of the creep strain for each structure. In the mobilization and stabilization phases it will be (Eq. 3), where Δt is a small time interval equal to one unit, e.g. one second. In the rupture phase it will be (Eq. 4).

The creep curves for successive soil structure consist of line segments of logarithmic curves in the mobilization and stabilization phases and of parabolic segments in the rupture phase; during the jump-like reorganization of the soil structures the process passes over from one possible curve to the next intersecting one.

These theoretical principles were confirmed by 20 creep tests, carried out on two samples of a highly plastic sensitive over-consolidated lacustrine clay with an undisturbed structure taken from the Sissian Pliocene diatomaceous deposits in Armenia from the depth 40 and 76 m from the surface. Some tests lasted over five years; a part of tests is still continuing. The stress levels are expressed as $f = \tau/\sigma$. Their discussion refers to the studied soils only.

The experiments enable to detect an important phenomenon directly concerning the problem under consideration. The mobilization limit takes place at the stress age about 10–15 days, then the strain rate increases (Eq. 2); this is true for all tests at shear stress exceeding the creep limit ($f \approx 0.15$). As regards the traditional definition in all these cases the tests should sooner or later end in failure since the strain rate accelerates. Hence the long-term shear strength should be assumed to be very small (equal to the creep limit). This conclusion is inconsistent with the fact of existence of high natural slopes in clays where the shear stresses along the potential surface of sliding exceed considerably the creep limit.

The prolonged tests have shown that in most cases this increase of the strain rate continues only to a certain stabilization limit; afterwards the strain rate decreases uninterruptedly. A decrease of the strain rate after some increase was first observed by Bishop and Lovenbury (1969). The continuous increase of the strain rate leading to the failure was detected only at high stress level ($f=0.55$); the failure sets in after 100–200 days. At somewhat lesser stress level (e.g., $f=0.50$), the failure does not set in even after 2000 days (about six years) and the creep proceeds with a decelerating rate ($\dot{\gamma} \approx 10^{-11} \text{ sec}^{-1}$).

The figure shows intrinsic curves (strain rate vs. strain in log scale). The turning point of the intrinsic curves corresponds to the maximum strain rate $\dot{\gamma}_s$ in the rupture phase; it is denoted as *stabilization limit S*. Then the strain rate decreases continuously. This suggests that the increase of the strain rate after its decrease does not mean that the process should undoubtedly end in failure.

Conclusion. In a vast domain between the creep ($f=0.15$) and rupture ($f=0.50$) limits the creep process is stabilized, although a temporary increase of the strain rate takes place. This enables to increase considerably the design stress for shear without causing anxiety that the soil may fail after a very long time.

³ Formulas and figure see pages 145–147.

ԳՐԱԿԱՆՈՒԹՅՈՒՆ — ЛИТЕРАТУРА — REFERENCES

- Вялов С. С., Зарецкий Ю. К., Максимиак Р. В. и Пекарская Н. К. 1972. Проблемы структурной реологии глин. Сб.: «Инженерно-геологические свойства глинистых пород и процессы в них». Тр. Междунар. симпозиума, М., Изд. МГУ, 2: 16—25.
- Тер-Степаниан Г. И., 1948. О влиянии формы и расположения частиц на процесс сдвига в грунтах. Изв. АН АрмССР, ест. и техн. науки, 1(2) : 167—185.
- Тер-Степаниан Г. И., 1976. Исследование ползучести глины при сдвиге. Проблемы геомеханики, Ереван, 7: 18—49.
- Bishop A. W. and Lovenbury H. T., 1969. Creep characteristics of two undisturbed clays. Proc. Seventh Intern. Conf. Soil Mech. Found. Engng. Mexico, 1:29—37.
- Eyring H., 1936. Viscosity, plasticity and diffusion as examples of absolute reaction rates. Journ. Chem. Phys., 4:283—291.
- Mitchell J. K., Campanella R. G. and Singh A., 1968. Soil creep as a rate process. Jour. Soil Mech. Found. Div. Am. Soc. Civ. Engrs, v. 94, SM1, p. 251—253.
- Schmid E., 1962. New concepts on shearing strength for saturated clay soils, pt. 2. Soils-Soils, 1:19—28.
- Ter-Stepanian G., 1936. On the influence of the scale-like shape of clay particles on the process of shear in soils, Proceedings, [First] Intern. Conf. Soil Mech. Found Engng. Harvard 2:112—116.
- Ter-Stepanian G., 1975. Creep of a clay during shear and its rheological model. Géotechnique 25(2):299—320.
- Vyalov S. S., Zaretsky Yu. K., Maximiak R. V. and Pekarskaya N. K., 1972. Problems of structural rheology of clays. Bull. Intern. Assoc. Eng. Geology, Paris, 5:79—83.
- Ter-Stepanian G., 1977. Behaviour of clays close to failure. Proc. Ninth Intern. Conf. Soil Mech. Found. Engng., Tokyo, 1:327—328.